

Li - Ca



~~Li-alkalik~~

1957

Bu. roscoi.

Li-Ca

Wolfson Milton R

Hiram Amer. Soc. Metals,  
1957, 49, 794-801. Discuss.  
801-804.

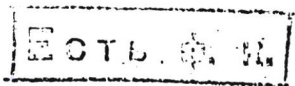
Установлено плавкое в сме-  
мече карбиди-алюминий.

X- 58-14-45930

CaLi (Tm) X-5148 1957

Wolfson M. R.,

Trans. Amer. Soc. Metals,  
1957, 49, 494. Discuss. 801



Б, №

PX, 1958, 45930

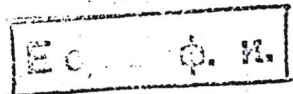
1959

39-392-X

$4\text{LiBO}_2 \cdot \text{Ca}(\text{BO}_2)_2$  ( Тм )

Рза-Заде П.Ф., Рустамов П.Г.  
Азерб.хим.ж., 1959, № 3, 65-69  
Визуально-политермическое . . .

Be



39-3906-X

IX-1434

1963

Ca<sub>1.5</sub>Li<sub>3</sub>P<sub>4</sub>O<sub>13</sub>, Na<sub>3</sub>Li<sub>3</sub>P<sub>4</sub>O<sub>13</sub>, Li<sub>2</sub>CO<sub>3</sub> up  
(stiff, shiny, soluble in HCl)

Meadowcroft T.R., Richardson F.D.,  
Trans. Faraday Soc., 1963, 59, N 487

1564-1571



M,B

*LiCaN*

1966

№ 4 В14. О существовании двойного нитрида лития и кальция. Aubry Jacques, Fromont Michel, Streiff Roland. Sur l'existence d'un nitride double de lithium et de calcium. «С. г. Acad. sci.», 1966, C262, № 25, 1785—1786 (франц.).

Рентгенографически установлено, что действие при  $600^\circ$   $\text{Li}_3\text{N}$  (I) на  $\text{Ca}_3\text{N}_2$  (II) в течение 24 час. или на Ca в атмосфере  $\text{N}_2$  приводит к образованию  $\text{LiCaN}$  (III) (для р-ции взяты I и II, полученные прямым взаимодействием Li с  $\text{N}_2$  при  $170^\circ$  в течение нескольких дней, или соотв. Ca с  $\text{N}_2$  при  $700^\circ$ ; не содержащий следов  $\text{O}_2$  азот получали пропусканием технич. азота через  $\text{Li}_3\text{N}$  при  $600^\circ$  или разложением  $\text{LiN}_3$ ; операции велись в закрытых сосудах в Ar, не содержащем  $\text{O}_2$ ). III представляет собой ионное соединение, гидролизующееся на холодау. Приведены межплоскостные расстояния по дебаеграмме III.

Н. Гэрбэлэу

Х. 1967. 4

LiCl-KCl-CaCrO<sub>4</sub> (sys. group.)

1969

Clark R. P.; Blecher R. Z.; Goldsmith H. J.

J. Chem. Eng. Data 1969, 14(4), 465-70.

Phase diagram of the system lithium chloride - potassium chloride - calcium chromate.

X 4608

5

8

⑧

CA, 1969, 41, N26, 129343j

РадиоДи-Хил(фир. фабрикации), 10 1969

Коршунов И.А., Крюкова А.И., Коновал  
Х 4815 С.В.

Пр. хим.-хим.-технол., 1969, № 1, 21-6

(реценз.)

Распределение изомодифицированного каучука в расщеплении гидрогеновых  
металлов.

Б. 7 @ ○ Ec Ⓣ. K.  
СН 1970, № 2, 48562.

Ca<sup>2+</sup>-LiCl, CaMnO<sub>4</sub>-KCl, ( ) 1969  
CaMnO<sub>4</sub>-RbCl, CaMnO<sub>4</sub>-CsCl, (T<sub>m</sub>)<sup>10</sup> g  
SrMnO<sub>4</sub>-NaCl, BaMnO<sub>4</sub>-NaCl  
M = Li, K, Rb, Cs.

IX 3026

Касьянов А.В., Крюкова А.И. ~~коричн-~~  
~~ный~~ № 106 У.А. (зарегистрирован),  
Глр. Государствен. науч.-технической, 1969, № 3,  
Бюл. № 143-5 (русск.)

Распределение селективных  
редкоземельных элементов в кро-  
вянистых природных зернах  
ионосферы. Распределение хлоридов  
Cs, Sr, Ba и распределение хлоридов  
урана в гидролитических речных водах.

5 (9)

СА, 1971, 71, N 8, 354272

$\text{AlPO}_3 - \text{Ca}(\text{PO}_3)_2$ ;  $\text{AlPO}_3 - \text{Ba}(\text{PO}_3)_2$  (шары)  $\text{AlPO}_3 - \text{Sr}(\text{PO}_3)_2$ ;  $\text{AlPO}_3 - \text{Ba}(\text{PO}_3)_2$  (шары)  $\text{Al}_2\text{O}_3(\text{PO}_3)_5$ ;  $\text{Al}_2\text{Si}_2(\text{PO}_3)_5$ ;  $\text{Al}_2\text{Ba}_2(\text{PO}_3)_5$  (тн.)

Макеты У.И.; Выставка Г.А. № 10  
БР-24703  
К. КСОРР. № 15; 1970, № 3, 881-3 /п/ед.

Рядное расположение в объеме  
стеклянной массы образца  
имеет в своем распределении  
известные закономерности  
! 12 Б № 04, 1970, № 26, 135918

2CaO · SiO<sub>2</sub> · LiF

Bsp 5356 - 8

1971

17 B104. Получение и фазовые превращения комплексов дикальцийсиликата и фторидов щелочных металлов. Balmer M. K., Silverman S. M. Preparation and phase transformations of dicalcium silicate-alkali fluoride complexes. «J. Amer. Ceram. Soc.», 1971, 54, № 2, 98—101 (англ.)

Нагревание смесей A и MF при 750° дает A·MF, где A = 2 CaO · SiO<sub>2</sub>, M = Li (I), Na (II), K (III), причем состав комплексов не зависит от отношения реагентов. При 20-час. нагревании (920°) вес I и II уменьшается на 1,5%, III — на 4%. I плавится с частичным разложением до γ-формы A при 940—50°. Приведены значения 0, d, I рентгенограмм порошка I—III, синтезированных

T<sub>t2</sub>

T<sub>m</sub>  
X · 1971 · 18



(+2)



при  $750^\circ$ , отличающиеся от значений  $\theta$ ,  $d$ ,  $I$  рентгенограмм образцов I и III, полученных при  $920^\circ$ . Нагреванием низкотройной модификации III при  $820^\circ$  получен образец, рентгенограмма к-рого идентична рентгенограмме высокотройного образца. Методом ДТА обнаружены энантиотропные превращения I и III при  $915—20$  и  $805—10^\circ$ , соотв.; II не претерпевает полиморфного превращения.

И. В. Никитин

III I Са В 09 (Тм)

М 1 - шестаки I гр.

Б Ⓡ

1973

IX 4487-BP

Сразуметдинов Д.З., канд. м.н., Помор-  
ская ГЛ.С., Пенза А.С.,

Глр. инст. хим. наук, Акад. наук

наук. С СР, 1973, 36, 18-25 (русск.) 10

Свойства синтетической птицы мешадросоры  
мешадака (I) — мешадросоры мешадака (II)  
в краевом чебоксарском биогранитном  
шерхите шифраки гидро-гидросоры  
кальций в природе обнаружен со смесью  
известняков мешадаков и ашшонитов.  
(ан.сравнит) РА, 1973, № 6, 150005а

$\text{LiCl} + \text{MgCl}_2$ ,  $\text{LiCl} + \text{CaCl}_2$ ,  $\text{LiCl} + \text{SrCl}_2$ , 1974  
 $\text{LiCl} + \text{CeCl}_3$ ,  $\text{LiCl} + \text{PbCl}_2$ ,  $\text{NaCl} + \text{CaCl}_2$ ,  
 $\text{NaCl} + \text{SiCl}_2$ ,  $\text{NaCl} + \text{BaCl}_2$ ,  $\text{NaCl} + \text{CeCl}_3$ ,  
 $\text{KCl} + \text{MgCl}_2$ ,  $\text{KCl} + \text{CaCl}_2$ ,  $\text{KCl} + \text{SrCl}_2$   
 $\text{KCl} + \text{BaCl}_2$ ,  $\text{KCl} + \text{CeCl}_3$  (Δf mix).

Egan J. J., Bracken J., X 8534

J. Chem. Thermodyn., 1974, 6(1), 9-16.  
Thermodynamic properties of some  
binary fused chloroide mixtures obtained  
from emf measurements.

C.H. 1974. 80 n14. 7119274. 9 M certified OP

KBr · CaBr<sub>2</sub>, 3CaBr<sub>2</sub> · 2LiBr (Tm) 1974.  
8763

Ибделов И.И., Искандаров Р.И.,  
Тасбеков А.Т.,

Изб. волнист. учебн. заведени.

Сер. химич и хим. технол., 1974,  
17 (4), 611-12.

Фазовая диаграмма LiBr-KBr-CaBr<sub>2</sub>.

5 (cp) 6

C.A. 1974. 81 n18. 111870a

41004.4817

25066 02

1974

Ch, TC

$\text{LiF-CaF}_2$  (фаз. диагр) № 6567

Koštenská I., Vrbenská J., Malinovský M.

The equilibrium "solidus-liquidus" in the system lithium fluoride-calcium fluoride.

"Chem. zvesti", 1974, 28, N 4,

531-538

(англ.)

0205 ник

195 195

ВИНИТИ

3CaBr<sub>2</sub> · 2LiBr

1975

(Tm)

104132z Phase diagram of the lithium, sodium, calcium || bromide ternary system. Il'yasov, I. I.; Litvinov, Yu. G. (Rostov. Fil., Zaochn. Inst. Sovetskoi Torg., Rostov, USSR). *Ukr. Khim. Zh. (Russ. Ed.)* 1975, 41(6), 660-1 (Russ). The phase diagram of the title system is given. The largest field is that of LiBr-NaBr mixed crystals. The other fields are those of the incongruently m. 3CaBr<sub>2</sub>.2LiBr and CaBr<sub>2</sub>. There is a ternary eutectic, m. 495°, contg. Li<sub>2</sub>Br<sub>2</sub> 5, CaBr<sub>2</sub> 68, and Na<sub>2</sub>Br<sub>2</sub> 27%. J. H. Scott

(+)

CaBr<sub>2</sub>

X

C.A. 1975. 83 N12.

ВР-Х-9312

1975

3CaBr<sub>2</sub>  
· 2LiBr

17 Б880. Диаграмма плавкости тройной системы  
—Li, —Ca, —BaBr<sub>2</sub>. Ильясов И. И., Искандаров К. И., Давранов М., Родионов А. И. «Укр.  
хим. ж.», 1975, 41, № 4, 435—437

Изучено взаимодействие в тройной системе Li, Ca,  
BaBr<sub>2</sub>. Характер системы определяется наличием на  
стороне Li<sub>2</sub>Br<sub>2</sub>—CaBr<sub>2</sub> инконгруэнтно плавящегося со-  
единения 3CaBr<sub>2</sub>·2LiBr. Система триангулирующим се-  
чением 3CaBr<sub>2</sub>·2LiBr—BaBr<sub>2</sub> делится на два сопряжен-  
ных треугольника с тройными точками  $P_I = 431^\circ$  и  
 $E_{II} = 418^\circ$ .

Резюме

(Tm)

X 1975 N 17

LiBr · CsBr, 3CaBr<sub>2</sub> · 2LiBr, 1975  
(Tm). X-9004

Убийев У.И., Некарееваров К.И.,  
Сабировов С.И., Бергштейн Р.Н.,

Ж. Неорган. химии, 1975, 20(1),  
250-3.

- Cационный Li<sup>+</sup>, Cs<sup>+</sup>, Ca<sup>2+</sup> // Cl<sup>-</sup> и  
Li<sup>+</sup>, Cs<sup>+</sup>, Ca<sup>2+</sup> // Br<sup>-</sup>.

C.A. 1975. 82 n 16. 1038094.

5 (cp) 5

$LiBr \cdot RbBr_2$ ;  $2RbBr_2 \cdot CaBr_2$ , 1975

$2LiBr_2 \cdot 3CaBr_2$  (Tm) X-9003

Ингерсой У.И., Давразов Н.

Грудзюк У.И.

Ж. неорганических, 1975, № 11, 232-234

Физико-химические свойства  
и зондирования излучением рентгеновской  
лучами

РНХ. Казахстан, 1975

96902

Б (9)

RBCL · Call<sub>2</sub>, LCL · 2 Call<sub>2</sub>  
(Tm) X9179

1975

Умаров У. У., Дабраисов М.,  
Рагимов А. У.,

ИС. ГЕОФИЗ. КИМЫ, 1975,  
20 (7), 1999-2001.

Соединение Call<sub>2</sub> - RBCL - LCL.  
С. А. 1975, № 14. 121652 м. 5 ♂

IX - 5529

1977

LiCl - CaCl<sub>2</sub> - CaCrO<sub>4</sub>  
(gray. group)

Clark R.P.,

Thermochim. Acta, 1977, 18(1), 21-36

Phase diagram for the ternary system  
lithium chloride - calcium chloride -  
calcium chromate(VI).  
C.A. 1977, 86, N12, 494844

5. 

LiCl·CaCl<sub>2</sub>·5H<sub>2</sub>O (ΔG<sub>f</sub>) BX-720-BG 1977

Филиппов В.К., Михеевсон К.Н.

Ж. неорган. химии, 1977, 22, №,  
1689-1694

Термодинамическое изучение системы  
LiCl-CaCl<sub>2</sub>-H<sub>2</sub>O при 25 + 35°

РЖХ, 1977

215968



M CP

LiCl - CaCl<sub>2</sub>

1977

88: 55564j Phase diagrams for lithium and calcium chloride aqueous solutions. Khandurdyev, A.; Daikhanov, S.; Kakabaev, A.; Orazmukhammedov, N. O. (Fiz.-Tekh. Inst., Ashkhabad, USSR). *Izv. Akad. Nauk Turkmen SSR, Ser. Fiz.-Tekh., Khim.*

Geol. Nauk 1977, (5), 41-4 (Russ). Physicochem. properties of LiCl-CaCl<sub>2</sub> aq. solns. used as absorbents in He absorption refrigerators were detd. Vapor pressure-compn. diagrams are given for 10-100°. Soln. viscosities and ds. were detd. at 30°.

page 63  
guarapuera

C.A. 1978, N8

# $\text{Li}_2\text{O} \cdot \text{CaF}$

1977

(Tm)

87: 59192p Activity of components in lithium oxide-calcium fluoride melts. Ovcharenko, G. I.; Lepinskikh, B. M.; Ryabov, V. I.; Zaitsev, A. V. (Sverdlovsk, USSR). *Izv. Akad. Nauk SSSR, Met.* 1977, (2), 74-7 (Russ). The component activity  $a$  was detd. for the  $\text{CaF}_2\text{-Li}_2\text{O}$  system by 3 independent methods based on emf. measurements, the liquidus line detn., and the theory of regular solns. The high-purity components were mixed in predetd. proportions, melted in He, and examd. by DTA to plot the phase diagram. The addn. of  $\text{Li}_2\text{O}$  diminished the m.p. of the melt. Only 1 compd.  $3\text{Li}_2\text{O}\text{-CaF}_2$  m. congruently at  $575^\circ$  could be detected. Its sec. lattice has  $a = 7.05 \text{ \AA}$ . From the phase diagram, the activities  $a_{\text{CaF}_2}$  and  $a_{\text{Li}_2\text{O}}$  were detd. by using an earlier-proposed equation (Baak T., 1955). A neg. departure from Raoult's law was obsd. The method of emf. was based on the use of the galvanic cell  $\text{Pt}|\text{CaF}_2\text{-Li}_2\text{O}|\text{CaO}, \text{ZrO}_2|\text{Ni}, \text{NiO}|\text{Pt}$ . The neg. departure from Raoult's law was confirmed. Similar results were obtained from the theory of regular solns. but the calcd.  $a_{\text{CaF}_2}$  and  $a_{\text{Li}_2\text{O}}$  values were higher than the preceding ones owing, probably, to insufficiently precise interaction energies used in the calen.

? La + ? Hill-  
→  $\text{LaCl}_3 + \text{La}_2\text{O}_3$   
= Clark R.P.

(SH penguins) Thermochim. acta  
1978, 26, 49-56  
Heat of reaction...

*Li - Ca - Ba - Br*

*1978*

89: 118500d Fusibility diagram of a lithium, cesium, barium  
|| bromide system. Il'yasov, I. I.; Iskandarov, K. I. (Zaochn.  
Inst. Sov. Torg., Rostov, USSR). *Ukr. Khim. Zh. (Russ. Ed.)*  
1978, 44(4), 355-7 (Russ). The phase diagram and invariant  
points are given for the Li-Ca-Ba-Br system. A eutectic, m.  
270°, contg. Cs<sub>2</sub>Br<sub>2</sub> 34, Li<sub>2</sub>Br<sub>2</sub> 63, BaBr<sub>2</sub> 3 equiv. %, is suggested  
as a possible electrolyte. The equil. solid phases are LiBr, CsBr,  
BaBr<sub>2</sub>, LiBr.CsBr, BaBr<sub>2</sub>.2CsBr, and an incongruently m. phase,  
apparently 2LiBr.2CsBr.3BaBr<sub>2</sub>.

J. H. Scott

*pazob-*  
*guarip.*

*C.A. 1978, 89, 1114*

*Li<sub>2</sub>Ca<sub>4</sub>Si<sub>4</sub>O<sub>13</sub>*

*1978*

23 Б864. Фазовые равновесия в системе Li<sub>2</sub>O—CaO—SiO<sub>2</sub>. West A. R. Phase equilibria in the system Li<sub>2</sub>O—CaO—SiO<sub>2</sub>. «J. Amer. Ceram. Soc.», 1978, 61, № 3—4, 152—155 (англ.)

*Tm*

Методами рентгенофазового анализа, оптич. микроскопии и атомно-адсорбц. спектроскопии исследованы фазовые отношения в системе Li<sub>2</sub>O—CaO—SiO<sub>2</sub>. Исходные стеклообразные образцы готовили отжигом смесей Li<sub>2</sub>CO<sub>3</sub>, CaCO<sub>3</sub> и SiO<sub>2</sub> при 1100—1400° в течение 3—12 час. выше т-ры ликвидуса с последующим закаливанием в воду. Затем проводили отжиг образцов при нужных т-рах и закаливали их в ртуть. Построена часть диаграммы состояния, примыкающая к SiO<sub>2</sub> и заключенная между SiO<sub>2</sub>—Li<sub>2</sub>SiO<sub>3</sub>—Li<sub>2</sub>CaSiO<sub>4</sub>—Ca<sub>2</sub>SiO<sub>4</sub>. Найдено два новых соединения Li<sub>2</sub>Ca<sub>4</sub>Si<sub>4</sub>O<sub>13</sub> и Li<sub>2</sub>Ca<sub>2</sub>Si<sub>2</sub>O<sub>7</sub>, плавящиеся инконгруэнтио при 1001 ± 4 и 927 ± 6 соотв. Соединение Li<sub>2</sub>Ca<sub>4</sub>Si<sub>4</sub>O<sub>13</sub> кристаллизуется в триклин. сингонии с параметрами решетки a 10,40(5) Å,

*2.1978, N23*

$b$  8,23(4) Å,  $c$  7,18(9) Å,  $\alpha$  77,6(1)°,  $\beta$  89,9(3)°,  $\gamma$  109,3(5)°, а соединение  $\text{Li}_2\text{Ca}_2\text{Si}_2\text{O}_7$  — в гексагон с параметрами решетки  $a$  5,09(6) Å и  $c$  41,30 Å. В этой части диаграммы состояния также существуют соединения  $\text{Li}_2\text{SiO}_3$ ,  $\text{Li}_2\text{Si}_2\text{O}_5$ ,  $\text{CaSiO}_3$ ,  $\text{Li}_2\text{CaSiO}_4$ ,  $\text{Ca}_3\text{Si}_2\text{O}_7$ ,  $\text{Ca}_2\text{SiO}_4$ ,  $\text{Li}_2\text{Ca}_3\text{Si}_6\text{O}_{16}$ . Отмечено, что получение стеклообразных образцов после первого отжига возможно при массе исходной навески более 0,5—1,0 г.

Б. Г. Кахран

707-5  
702-7



$\text{Li}_2\text{CaSiO}_4$

BP X-1467

1948

$\text{Li}_2\text{Ca}_2\text{Si}_2\text{O}_3$  agp.

89: 31559f Phase equilibria in the system lithium oxide-calcium oxide-silicon dioxide. West, A. R. (Dep. Chem., Univ. Aberdeen, Aberdeen, Scot.). *J. Am. Ceram. Soc.* 1978, 61(3-4), 152-5 (Eng). Phase relations in the system  $\text{Li}_2\text{O}$ - $\text{CaO}$ - $\text{SiO}_2$  were studied by the quenching method. Four stable ternary compds. were found ( $\text{Li}_2\text{Ca}_3\text{Si}_6\text{O}_{16}$ ,  $\text{Li}_2\text{Ca}_4\text{Si}_4\text{O}_{13}$ ,  $\text{Li}_2\text{Ca}_2\text{Si}_2\text{O}_7$ , and  $\text{Li}_2\text{CaSiO}_4$ ) as well as phase Y, which is probably a metastable orthosilicate fairly close to  $\text{Ca}_2\text{SiO}_4$  in compn. X-ray powd. data are given for the new phases. Eleven subsolidus compatibility triangles and thirteen liquidus invariant points were located. Melting relations were detd. for that part of the system bounded by  $\text{Li}_2\text{SiO}_3$ ,  $\text{Li}_2\text{CaSiO}_4$ ,  $\text{Ca}_2\text{SiO}_4$ , and  $\text{SiO}_2$ . The join  $\text{Li}_2\text{SiO}_3$ - $\text{CaSiO}_3$  is binary.

magab  
jwac/

C.A. 1948, 29, NY

Laki(2)

[0m. 22768]

1985

Ihle M.R., Wu C.H.,

ASME; J. Nucl. Mater, 1985,  
130, 454-464.

$\text{Li}_x \text{Ca}_y \text{TiS}_2$

1986

105: 13204f Structural, thermodynamic and transport properties  
of a new cointercalated compound: lithium calcium titanium  
sulfide ( $\text{Li}_x \text{Ca}_y \text{TiS}_2$ ). Lin, Hsiu Ping Wu (Univ. Pennsylvania,  
Philadelphia, PA USA). 1985. 154 pp. (Eng). Avail. Univ.  
Microfilms Int., Order No. DA8523437. From *Diss. Abstr. Int. B*  
1986, 46(8), 2769.

memos - CB-BG

C.A. 1986, 105, N2

Li<sub>2</sub>CaPO<sub>4</sub> Flammari L., 1988

Eloueadi B., et al.,

(T<sub>tr</sub>, P<sub>as</sub>. neperexog) Phase Transitions 1988,  
13(1-4), 29-32.

Study of phase transitions in...

C.A. 1989, 110, N12, 105 454u.

LiCaN

1989

21 Б2300. LiCaN и  $\text{Li}_4\text{SrN}_2$ , производные от структурных типов флюорита и нитрида лития, соответственно. LiCaN und  $\text{Li}_4\text{SrN}_2$ ; Abkömmlinge der Fluorit-bzw, Lithiumnitrid-Struktur / Cordier G., Gudai I., Kniep R., Rabenda A. // Angew. Chem.— 1989.— 101, № 12.— С. 1689—1692.— Англ.

Проведен РСТА кристаллов LiCaN (I,  $R$  0,034 для 268 отражений), синтезир. взаимодействием Li и Ca в атмосфере  $\text{N}_2$  при т-ре  $850^\circ\text{C}$ , и  $\text{Li}_4\text{SrN}_2$  (II,  $R$  0,045 для 188 отражений), полученных взаимодействием  $\text{Li}_3\text{N}$  и Sr в атмосфере Ar при т-ре  $700^\circ\text{C}$ . Параметры решеток: I ромбич.,  $a$  8,471,  $b$  3,676,  $c$  5,537 Å,  $Z$  4, ф. гр.  $Pnma$ ; II тетрагон.,  $a$  3,822,  $c$  27,042,  $Z$  4, ф. гр.  $I4_1/AMD$ . Для I установлена структура, пр-ная от СТ флюорита с незначительноискаженной плотнейшей кубич. упаковкой атомов N. Атомы Ca заселяют половину тетраэдрич. пустот ( $\text{Ca}-\text{N}$  2,436—2,472 Å), в то время как Li смешен из центров тетраэдров и располагается на расстоянии 0,135 Å от одной из граней тет-

(7)  
12

X. 1990, № 21

раэдра; т. обр. координация Li м. б. описана как сильно уплощенная тригон. пирамида  $\text{LiN}_3$  ( $\text{Li}-\text{N}$  2,071—2,108 Å), 4-ый атом N располагается от Li на расстоянии 3,570 Å. В направлении оси *b* проходят цепи из соединенных вершинами пирамид  $\text{LiN}_3$ , соединенные между собой атомами Ca. Для II определена структура, пр-ная от СТ  $\text{Li}_3\text{N}$  с тетраэдрич. координацией Sr ( $\text{Sr}-\text{N}$  2,648) и координацией Li в виде пентагон. бипирамиды ( $\text{Li}-\text{N}$  в осевом направлении 1,913, в экваториальной плоскости 2,112—2,149 Å). С. В. Соболева



LilaN

1989

[112] 902385 The structure of "fluorite" and lithium nitride derivatives: LiCaN and Li<sub>4</sub>SrN<sub>2</sub>. Cordier, Gerhard; Gudat, Axel; Kniep, Ruediger; Rabenau, Albrecht (Max-Planck-Inst. Festkoerperforsch., D-7000 Stuttgart, 80 Fed. Rep. Ger.). *Angew. Chem.* 1989, 101(12), 1689-95 (Ger). LiCaN, prepd. from the elements at 850°, is orthorhombic, space group *Pnma*,  $a$  8.471(3),  $b$  3.676(2)8  $c$  5.537(3) Å,  $Z$  = 4,  $R$  = 0.034. Li<sub>4</sub>SrN<sub>2</sub>, prepd. from Li<sub>3</sub>N and Sr under N at 700°, is tetragonal, space group *I4<sub>1</sub>/amd*,  $a$  3.822(2),  $c$  27.042(9) Å,  $Z$  = 4,  $R$  = 0.045. LiCaN has the fluorite structure and Li<sub>4</sub>SrN<sub>2</sub> has the Li<sub>3</sub>N structure. Li<sub>4</sub>SrN<sub>2</sub> is an ionic conductor.

СМЫКИЯ

(A)<sub>12</sub> Li<sub>4</sub>SrN<sub>2</sub>

C.A. 1990, 112, N/10

LiCaAlF<sub>6</sub>

1991

3 Б2410. Термофизические свойства расплава LiCaAlF<sub>6</sub>. Thermophysical properties of a LiCaAlF<sub>6</sub> melt: [Pap.] Amer. Cryst. Growth, 1990: Proc. 8th Amer. Conf. Cryst. Growth, Vail, Colo, 15—20 July, 1990 / Fratello V. J., Brandle C. D. // J. Cryst. Growth.— 1991.— 109, № 1—4.— С. 334—339.— Англ.

Получены значения плотности, поверхн. натяжения и вязкости расплава LiCaAlF<sub>6</sub> в т-рном диапазоне 815—915°C, значения ρ(изм.) при 815°C, 2,505, т-рный коэф. объемного расширения —  $2,9 \times 10^{-4}$ . Методом измерения поверхн. натяжения по макс. давл. в пузырьке получе-

плотность,  
вязкость,  
нагибанием,  
взносим  
х. 1992, № 3

но значение поверхн. натяжения ( $\gamma$ ) в атмосфере азота — 157,8 дин/см и в Ar — 148,9 дин/см. Вязкость ( $\eta$ ) измерена с помощью вискозиметра Брудфильда и равна 19 Па $\times$ с при  $T = 815^\circ\text{C}$ , энергия активации составляет 531 кДж/моль. Составлены следующие выражения для зависимостей  $\rho$ ,  $\gamma$  и  $\eta$  от темп.  $T$  ( $^\circ\text{C}$ ):  $\rho = 3,098 - 0,0007273 T$ ,  $\gamma(\text{N}_2) = 299,9 - 0,1545 T$ ,  $\gamma(\text{Ar}) = 323,6 - 0,1904 T$  и  $\eta = 0,0538 e^{531/RT}$ , где  $R$  — универсальная газовая постоянная. Эти данные будут использованы при моделировании конвекции и потоков в расплаве при выращивании монокристаллов этого соед. методами Бриджмена и Чохральского.

Л. В. Мусатова

*Li<sub>3</sub>AlF<sub>6</sub>*

1991

24 Б2018. Синтез и структура LiCaAlF<sub>6</sub> / Исхакова Л. Д., Чарушникова И. А., Голота А. Ф., Трунов В. К. // Изв. АН СССР. Неорган. матер.— 1991.— 27, № 6.— С. 1302—1306.— Рус.

В системе  $\text{Li}_3\text{AlF}_6$ — $\text{CaCl}_2$ — $\text{H}_2\text{O}$  образуется тройной фторид  $\text{LiCaAlF}_6$  (I). Проведено прецизионное рентгеноструктурное исследование I [ $\lambda$  Mo, 1078 отражений (массив из 499 отражений) до  $R$  0,025 и  $R_{w}$  0,026]. Параметры тригон. решетки:  $a$  5,006,  $c$  9,659,  $Z$  2,  $\rho$  (выч.) 2,984, ф. гр.  $\bar{P}31c$ . Показатель преломления 1,35. I является пр-ной от структуры  $\text{Li}_2\text{ZrF}_6$ . В полиэдрич. представлении I относится к октаэдрич., построенным из  $\text{LiF}_6$ -,  $\text{CaF}_6$ - и  $\text{AlF}_6$ -октаэдров. Обобщенные по 3 ребрам  $\text{LiF}_6$ - и  $\text{AlF}_6$ -октаэдры упакованы в слои. Два таких соседних слоя соединяются в 3-мерный каркас  $\text{CaF}_6$ -октаэдрами посредством вершинного соединения последних с  $\text{Li}$ - и  $\text{Al}$ -октаэдрами. Три типа  $\text{MF}_6$ -октаэдров различаются искажениями.

*Синтез  
и  
структура*

X·1991, N 24

*LiCaPO<sub>4</sub>*

*1991*

17 Б2024. Синтез и исследование структуры Li-CaPO<sub>4</sub> с помощью комбинированного рентгено- и нейтронографии порошков. *Synthesis and structure of LiCaPO<sub>4</sub> by combined X-ray and neutron powder diffraction / Lightfoot Philip, Pienkowski Marian C., Bruce Peter G., Abrahams Isaac // J. Mater. Chem.— 1991.— 1, № 6.— С. 1061—1063.— Англ.*

Проведены синтез, рентгенографич. ( $\lambda$  Cu-K $\alpha$ , 252 рефлекса,  $R$  6,67%) и нейтронографич. (по времени пролета, интервал межплоскостных расстояний 0,5—2,43 Å, 1467 рефлексов,  $R$  1,58%) исследования структуры нового фосфата LiCaPO<sub>4</sub> (I, метод Ритвельда, комбинированный  $R$  3,17%), изоструктурного LiNaSO<sub>4</sub>. Параметры тригон. решетки: I  $a$  7,5247,  $c$  9,9657 Å, ф. гр.  $P\bar{3}1c$ . Структура состоит из 3-мерного каркаса из тетраэдров LiO<sub>4</sub> и PO<sub>4</sub>, соединенных вершинами и образующими пятигранные каналы, параллельные оси  $c$ , занятые ионами Ca<sup>2+</sup>. Расстояния Li—O 1,87—2,00 Å, P—O 1,51—1,57 Å, Ca—O 2,396—2,907 Å. Л. А. Бутман

*Синтез,  
Структура*

*X-1992, N 17*

$M_2O - CaO - P_2O_5 - SiO_2$

1993

M - Kselerite

Ullmann

(1979) Thermodynamics analysis of the interaction of phosphates and silicates in the system  $Me_2O - CaO - P_2O_5 - SiO_2$ . Tsvetkova, K. B.; Serazetdinov, D. Z.; Menlibayev, A. (Inst. Khim. im. Bekturova, Almaty, Kazakhstan). Izv. Nats. Akad. Nauk Kaz., Ser. Khim. 1993, (2), 3-7 (Russ). Heats and entropies of baric chem. potentials at 298 K of interactions of compds. in the  $Me_2O - CaO - P_2O_5 - SiO_2$  ( $Me$  = alkali metal) were detd. It was found that the reactions which occur between the phosphates and the metasilicates depend on the initial compn. of the mixts.

1 H<sub>2</sub>O,

1 SiO<sub>2</sub>

C. A. 1994, 121, N 10

Lilat<sub>24</sub>(PO<sub>4</sub>)<sub>6</sub> [Om. 37 491]

1994

Die Dear - No,

J. Mater. Sci. Letters,  
(b) 1994, 13, N2, 129-130.

Thermal conduction behaviour  
of (Ca, X)Zr<sub>24</sub>(PO<sub>4</sub>)<sub>6</sub> ceramic  
(X = Li, Mg, Zr)

$\text{Li}_2\text{Ca(K)}$

1996

126: 135893j Bonding properties of  $\text{Li}_2\text{Ca}$  and  $\text{Mg}_2\text{Ca}$ . Zhu, Ming J.; Bylander, D. M.; Kleinman, Leonard (Dep. Physics, Univ. Texas, Austin, TX 78712 USA). *Phys. Rev. B: Condens. Matter* 1996, 54(21), 14865–14868 (Eng), American Physical Society. We previously detd. that the monovalent intermetallic compd.  $\text{Na}_2\text{K}$  has a neg. formation enthalpy only because of relatively large energy band contributions which result in large multi-atom covalent bonds. Here we calc. the bonding properties of the divalent  $\text{Mg}_2\text{Ca}$  and mixed valence  $\text{Li}_2\text{Ca}$  compds. crystg. in the same  $\text{MgZn}_2$  structure as  $\text{Na}_2\text{K}$ .

( $\Delta_f H$ )

(7)



C.A. 1997, 126, N 10

Lilac

1997

Mc Hale J.M., Novotny  
A. et al.,

(S<sub>5</sub>H) Chem. Mater. - 1997,  
9, N.F, p. 1538 - 46

(all. Li<sub>3</sub> • NiI)

Li - CaCl<sub>2</sub> ( pol. Gilchrist )

2001

135: 171355e Differential scanning calorimetric studies on the phase diagram of the binary LiCl-CaCl<sub>2</sub> system. Mahendran, K. H.; Nagaraj, S.; Sridharan, R.; Gnanasekaran, T. (Materials Chemistry Division, Indira Gandhi Centre for Atomic Research, Kalpakkam, 603 102 India). *J. Alloys Compd.* 2001, 325(1-2), 78-83 (Eng), Elsevier Science S.A. The phase diagram of the binary LiCl-CaCl<sub>2</sub> system was investigated by differential scanning calorimetry (DSC). From the exptl. results formation of a compd., LiCaCl<sub>3</sub> at  $439 \pm 4$  °C is discerned. The compd. undergoes peritectic decompr. at 490 °C. The system shows a eutectic reaction between the compd. and solid soln. rich in LiCl at 485 °C. Also, the system exhibits significant solid solv. of LiCl(s) in CaCl<sub>2</sub>(s) and vice versa. The complete phase diagram of this system is constructed and reported.

Li CaCl<sub>3</sub> ( Tz )

*LiCaCl<sub>3</sub>*

*2021*

F: LiCl-CaCl<sub>2</sub>, Li<sub>2</sub>CaCl<sub>3</sub>

P: 1

03.11-19Б3.47. Исследования методом дифференциальной сканирующей калориметрии фазовой диаграммы бинарной системы LiCl-CaCl<sub>2</sub>. Differential scanning calorimetric studies on the phase diagram of the binary LiCl-CaCl<sub>2</sub> system. Mahendran K. H., Nagaraj S., Sridharan R., Gnanasekaran T. // J. Alloys and Compounds. - 2001. - 325, N 1-2. - С. 78-83. - Англ.

Методом ДСК исследована фазовая диаграмма бинарной системы LiCl-CaCl<sub>2</sub>. экспериментальных результатов установлено образование соединения Li<sub>2</sub>CaCl<sub>3</sub> 439'+'4pC. Соединение разлагается перитектически при 490pC. Система претерпевает эвтектическую реакцию между соединением и твердым раствором высоким содержанием LiCl при 485pC. Кроме того в системе наблюдается значительная растворимость твердого LiCl в твердом CaCl<sub>2</sub> и наоборот. Построена и приведена полная фазовая диаграмма этой системы. Библ. 7.

F: Ca-Li-Mg, Ca-Li

Li Ca (Mg)

2002

P: 1

04.06-19Б3.65. Фазовые равновесия, калориметрическое исследование и термодинамическое моделирование сплавов Mg-Li-Ca. Phase equilibria, calorimetric study and thermodynamic modeling of Mg-Li-Ca alloys / Grobne Schmid-Fetzer R., Pisch A., Colinet C., Pavlyuk V. V., Dmytriv G. S., Kev D. G., Bodak O. I. // Thermochim. acta. - 2002. - 389, N 1-2. - С. 85-94. Англ.

Бинарная система Ca-Li и тройная система Ca-Li-Mg исследованы эксперимент методом калориметрии и фазового равновесия, а также путем термодинамических расчетов методом Calphad. Энталпия образования бинарной фазы CaLi получена методом калориметрии вбррасывания. Тройные фазовые равновесия при 150°C исследовались методом рентгеновской дифрактометрии. Определена растворимость бинарной системы Ca-Li и тройной системе Ca-Li-Mg. На основе литературных данных рассчитаны фазовые равновесия во всей трехкомпонентной системе. Рассчитанные фазовые диаграммы хорошо согласуются с экспериментальными данными.

*LiCaBO<sub>3</sub>*

*2003*

F: Li<sub>2</sub>O-CaO-B<sub>2</sub>O<sub>3</sub>, LiCaBO<sub>3</sub> ( $T_{tr}$ )  
P: 1

04.05-19Б3.69. Фазовые отношения в системе Li[2]O-CaO-B[2]O[3]. Phase rel in the system Li[2]O-CaO-B[2]O[3] / Wu L., Chen X. L., Tu Q. Y., He M., Z Y., Xu Y. P. // J. Alloys and Compounds. - 2003. - 358. - С. 23-28. - Анг Субсолидусные фазовые отношения тройной системы Li[2]O-CaO-B[2]O[3] исследованы методом порошковой дифракции рентгеновских лучей. Система может быть разделена на 19 трехфазных областей и три двухфазных области. В системе существуют бинарных соединений и два тройных соединения. Идентифицированы два новых соединения с составами, близкими к LiCaBO[3] и Li[6]CaB[3]O[8,5]. Оба соединения имеют орторомбическую структуру с разными параметрами решетки: 13,2537(6), b

6,1799(3), с 6,0746(3) Å для LiCaBO[3], и а  
9,2440(6), б 8,0999(4), с 3,4839(3) Å для  
Li[6]CaB[3]O[8,5]. Кроме того соединение составом,  
близким к  $0,83\text{LiO}[0,5]*0,005\text{CaO}*0,165\text{BO}[1,5]$ ,  
наблюдалось в это системе. Предполагается, что это  
соединение является высокотемпературной Li[3]BO[3].  
Библ. 20.

---